

Розглянуто один з можливих підходів в рішенні проблеми створення високоефективних широкосмугових фазообертачів. Запропоновані принципи і пристрій дозволяють розширити діапазон робочих частот або підвищити точність фазового зсуву в колишньому діапазоні

Ключові слова: аналогова обробка сигналів, квадратурні сигнали, фазовий зсув, фазові ланки, топологічний аналіз

Rассмотрен один из возможных подходов в решении проблемы создания высокоэффективных широкополосных фазовращателей. Предложенные принцип и устройство позволяют расширить диапазон рабочих частот или повысить точность фазового сдвига в прежнем диапазоне

Ключевые слова : аналоговая обработка сигналов, квадратурные сигналы, фазовый сдвиг, фазовые звенья, топологический анализ

One of possible approaches in the problem solving of a high-performance broadband phase changers creation is considered. Offered principle and device allow to extend working frequency range or to improve precision of phase shift in a former range.

Key words: analog signal processing, quadrature signals, phase shift, phase links, topological analysis

ПРИНЦИП И УСТРОЙСТВО ФОРМИРОВАНИЯ СИГНАЛОВ С ОПРЕДЕЛЕННЫМ ФАЗОВЫМ СДВИГОМ В ДИАПАЗОНЕ ЧАСТОТ

О.Л. Ротач*

А.Н. Зеленин

Кандидат технических наук, профессор, преподаватель

Кафедра «Сети связи»*

Контактный тел.: (057) 345-00-83

*Харьковский национальный университет

радиоэлектроники

пр. Ленина, 14, г. Харьков, 61166

E-mail: fleur-de-nuit@yandex.ru

1. Введение

В устройствах радиотехники и телекоммуникаций часто необходимо формировать колебания с определенным фазовым сдвигом (устройства квадратурной модуляции (демодуляции), формирование SSB сигналов, устройства с фазовым подавлением помех и т.п.).

В цифровой обработке сигналов такие проблемы решаются аппаратно-программными методами, а в устройствах аналоговой схемотехники подобные задачи решаются довольно сложно, что связано с необходимостью обеспечивать и частотную диапазонность.

Несмотря на доминирующую роль цифровой обработки сигналов в телекоммуникационных системах, не теряют актуальность методы и средства аналоговой обработки, которые все чаще становятся идеологической основой для проектирования средств функциональной микроэлектроники.

2. Постановка задачи

Известны устройства, называемые фазовыми фильтрами [2]. Они представляют собой устройства, в которых на заданной частоте фаза выходного сигнала

сдвигается относительно входного на определенную величину, при этом коэффициент передачи для амплитудных соотношений инвариантен к частоте.

Для получения фиксированного фазового сдвига в диапазоне частот используют фазовые четырехполюсники, фазовый сдвиг в которых является логарифмической функцией частоты. Недостатком такого звена является пониженная функциональность, проявляемая в том, что требуемая точность поддержания фазового сдвига обеспечивается в относительно малом диапазоне частот.

Таким образом, стоит задача улучшить функциональные возможности устройства, выражающиеся в расширении диапазона рабочих частот, где обеспечивается требуемая точность поддержания фазового сдвига, либо повышенная точность поддержания фазового сдвига в прежнем диапазоне рабочих частот.

3. Анализ базового четырехполюсника широкополосного фазовращателя

При реализации фазовых звеньев, позволяющих получить фиксированный фазовый сдвиг в диапазоне частот, приходят к схемотехническим решениям на

основе активных четырехполюсников [3], фаза каждого из которых изменяется от частоты по логарифмическому закону (рис. 1).

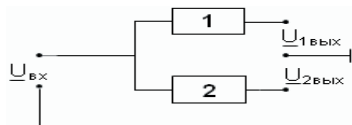


Рис. 1. Структура двухфазного фазового звена

Допустим, что на вход четырехполюсников 1 и 2 синфазно подается напряжение $U_{вх}$. Полагаем, что фазовые сдвиги выходных напряжений $U_{1 вых}$ и $U_{2 вых}$ являются логарифмическими функциями частоты F , φ_1 и φ_2 – соответственно фазовые сдвиги четырехполюсников 1 и 2.

Тогда:

$$\begin{aligned} \varphi_1 &= A_1 + \ln K_1 F, \\ \varphi_2 &= A_2 + \ln K_2 F, \end{aligned} \quad (1)$$

где A_1, K_1, A_2, K_2 – постоянные четырехполюсников. При выполнении (1) на выходе двухфазного фазового звена (рис.1) получили два напряжения с разностью фаз равной:

$$\begin{aligned} \Delta\varphi_{12} &= \varphi_1 - \varphi_2 = A_1 - A_2 + \ln K_1 F - \\ &- \ln K_2 F = A_1 - A_2 + \ln \frac{K_1}{K_2} = \text{const} \end{aligned} \quad (2)$$

Из (2) следует, что логарифмическая зависимость фазы выходного напряжения от частоты F позволяет получить два напряжения с постоянным фазовым сдвигом, независимых от частоты.

Понятно, что в реальных условиях соотношение (2) будет выполняться с определенной точностью в определенном диапазоне частот. В этом случае, перед разработчиком встает проблема аппроксимации реальной зависимости $\Delta\varphi(F)$ с учетом требований точности и диапазонности устройства.

Подобные задачи могут быть решены в рамках подходов, использующих принципы параметрической оптимизации, для которой характерно то, что оптимизируются параметры либо наперед заданной схемы, либо математической аппроксимирующей модели [1]. В нашем случае актуален первый вариант, т.к. типовые решения по схемотехнике фазовых звеньев уже известны.

На рис. 2 приведена схема четырехполюсника, при определенных условиях удовлетворяющая поставленным выше требованиям.

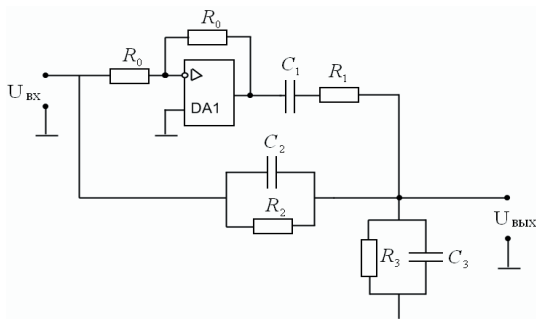


Рис. 2. Фазовое звено

На рис. 3 приведена топологическая модель фазового звена, изображенного на рис. 2.

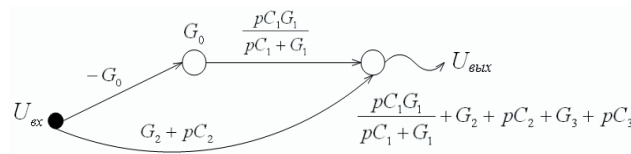


Рис. 3. Топологическая модель фазового звена

Выведем передаточную функцию фазового звена:

$$\begin{aligned} W(p) &= \frac{U_{вых}(p)}{U_{вх}(p)} = \frac{(G_2 + pC_2) \cdot G_0 - G_0 \cdot \frac{pC_1G_1}{pC_1 + G_1}}{G_0 \cdot \left(\frac{pC_1G_1}{pC_1 + G_1} + G_2 + pC_2 + G_3 + pC_3 \right)} = \\ &= \frac{p^2C_1C_2 + p(C_1G_2 + C_2G_1 - C_1G_1) + G_2G_1}{p^2(C_1C_2 + C_1C_3) + p(C_1G_1 + C_1G_2 + C_2G_1 + C_1G_3 + C_3G_1) + (G_1G_2 + G_1G_3)}, \end{aligned} \quad (3)$$

Приведем передаточную функции фазового звена к каноническому виду, для этого числитель и знаменатель разделим на $(C_1C_2 + C_1C_3)$.

Проведя преобразования, получаем:

$$W^*(p) = \frac{C_1}{C_2 + C_3} \cdot \frac{p^2 - p \left[\frac{C_1(G_1 - G_2)}{C_1C_2} - \frac{G_1}{C_1} \right] + \frac{G_2G_1}{C_2C_1}}{p^2 + p \left[\frac{G_1 + G_2 + G_3}{C_2 + C_3} + \frac{G_1}{C_1} \right] + \frac{G_1(G_2 + G_3)}{C_1(C_2 + C_3)}} \quad (4)$$

Канонический вид передаточной функции для фазового звена второго порядка имеет следующий вид [2]:

$$W^*(p) = K_\varphi \cdot \frac{p^2 - \frac{\omega_0}{Q_F} p + \omega_0^2}{p^2 + \frac{\omega_0}{Q_F} p + \omega_0^2} \quad (5)$$

Сравнив выведенную нами передаточную функцию (4) с канонической (5), получим:

$$\begin{aligned} K_\varphi &= \frac{C_1}{C_2 + C_3}; \quad \omega_0 = \sqrt{\frac{G_2G_1}{C_2C_1}}; \quad \omega_0 = \sqrt{\frac{G_1(G_2 + G_3)}{C_1(C_2 + C_3)}}; \\ \frac{\omega_0}{Q_F} &= \frac{G_1 - G_2}{C_2} - \frac{G_1}{C_1}; \\ Q_F &= \frac{\omega_0}{\frac{G_1 - G_2}{C_2} - \frac{G_1}{C_1}} = \frac{\sqrt{G_2C_2 \cdot G_1C_1}}{(G_1 - G_2)C_1 - G_1C_2}; \\ Q_F &= \frac{\omega_0}{\frac{G_1 + G_2 + G_3}{C_2 + C_3} + \frac{G_1}{C_1}} = \frac{\sqrt{G_1(G_2 + G_3) \cdot C_1(C_2 + C_3)}}{(G_1 + G_2 + G_3)C_1 + G_1(C_2 + C_3)}. \end{aligned}$$

4. Нормирование параметров базового четырехполюсника

В [3] указывается, что требуемая логарифмическая частотная зависимость фазы выходного звена реализуется при следующих соотношениях элементов фазового звена, приведенного на рис. 2:

$$a = \frac{C_2}{C_1}; R_2 = \frac{R_1}{a}; R_3 = \frac{1-4a}{4a} \cdot R_2; C_3 = \frac{4a}{1-4a} \cdot C_2. \quad (6)$$

Сделаем C_1 и R_1 базовыми, – пересчитаем R_2 и R_3 через R_1 , C_2 и C_3 через C_1 , т.е. в передаточной функции будут параметры G_1 , C_1 и a .

Тогда с учетом приведения номиналов, получаем, что $C_2 = aC_1$, $C_3 = \frac{4a^2}{1-4a} C_1$, $\omega_0 = \omega_0 = \frac{G_1}{C_1}$, а $Q_F = Q_F = \frac{a}{1-2a} = \frac{1}{b}$.

Учитывая полученные значения ω_0 , ω_0 , τ и Q_F , запишем $W^*(p)$ в виде:

$$W^*(p) = \frac{aC_1 \cdot \left(p^2 - \frac{G_1}{C_1} \cdot \frac{(1-2a)}{a} p + \frac{G_1^2}{C_1^2} \right)}{aC_1 + \frac{4a^2}{1-4a} C_1 \cdot \left(p^2 + \frac{G_1}{C_1} \cdot \frac{(1-2a)}{a} p + \frac{G_1^2}{C_1^2} \right)} =$$

$$= (1-4a) \cdot \frac{p^2 - \frac{b}{\tau} p + \left(\frac{1}{\tau} \right)^2}{p^2 + \frac{b}{\tau} p + \left(\frac{1}{\tau} \right)^2}, \quad (7)$$

где $\tau = R_1 C_1 = R_2 C_2 = R_3 C_3 = 1/\omega_0$,

5. К обоснованию значения нормировочного параметра a

Для получения комплексного коэффициента передачи $K(j\omega)$ заменим в $W^*(p)$ оператор p на $j\omega$, после разделим числитель и знаменатель полученной передаточной функции на $\omega_0 \omega$, при этом, обозначив $\frac{\omega_0}{\omega} = x$. Получим:

$$K(j\omega) = (1-4a) \cdot \frac{\sqrt{\left(x - \frac{1}{x}\right)^2 + b^2} \cdot e^{\arctg\left(\frac{b}{x - \frac{1}{x}}\right)}}{\sqrt{\left(x - \frac{1}{x}\right)^2 + b^2} \cdot e^{\arctg\left(\frac{b}{x - \frac{1}{x}}\right)}}. \quad (8)$$

Из (8) следует, что амплитудно-частотная характеристика постоянна в диапазоне частот и равна:

$$|K(j\omega)| = 1-4a, \quad (9)$$

а фазочастотная характеристика:

$$\arg K(j\omega) = \arctg\left(-\frac{b}{x - \frac{1}{x}}\right) - \arctg\left(\frac{b}{x - \frac{1}{x}}\right) =$$

$$= -2 \cdot \arctg\left(\frac{b}{x - \frac{1}{x}}\right) = \varphi(\omega) \quad (10)$$

$$\text{Тогда } \left| \frac{\varphi(\omega)}{2} \right| = \arctg\left(\frac{b}{x - \frac{1}{x}}\right). \quad (11)$$

Для определения степени приближения полученной функции к разности фаз двух напряжений

на выходе двухфазного фазового звена (2) производим ряд преобразований (введение замены $x = e^{\ln x}$ и $x - \frac{1}{x} = e^{\ln x} - e^{-\ln x} = 2 \cdot \text{sh}(\ln x)$, разложение в ряд функций гиперболического синуса [4], ограничиваясь первым членом), после чего получаем следующее соотношение:

$$\frac{\varphi(\omega)}{2} \approx -\left[\frac{\pi}{2} + \frac{2}{b} \ln x \right] \quad (12)$$

или

$$\varphi(\omega) \approx -\left[\pi + \frac{4}{b} \ln x \right]. \quad (12')$$

Это соотношение подтверждает, что анализируемая схема способна обеспечить требуемую логарифмическую зависимость $\varphi(\omega)$.

Понятно, что соотношение (12') соответствует (11) в определенной области частот x , где с математической точки зрения являются допустимыми ограничения рядов.

Для обеспечения относительного постоянства фазового сдвига выходного колебания относительно входного в диапазоне частот необходимо использовать два логарифмических четырехполюсника.

Структура такого фазового звена приведена на рис. 4. Это двухканальное устройство, в котором первый канал базируется на первом базовом четырехполюснике, а второй канал – на втором базовом четырехполюснике.

Второй канал имеет передаточную функцию относительно первому (7):

$$W_2(p) = (1-4a_2) \cdot \frac{p^2 - \frac{b_2}{\tau} p + \left(\frac{1}{\tau}\right)^2}{p^2 + \frac{b_2}{\tau} p + \left(\frac{1}{\tau}\right)^2},$$

где $a_2 = \frac{C_2'}{C_1'}$, $R_2' = \frac{R_1'}{a_2}$,

$$R_3' = \frac{1-4a_2}{4a_2} \cdot R_2', \quad C_3' = \frac{4a_2}{1-4a_2} \cdot C_2', \quad b_2 = \frac{1-2a_2}{a_2},$$

$$\tau = R_1' C_1' = R_2' C_2' = R_3' C_3' = R_1 C_1 = R_2 C_2 = R_3 C_3.$$

Фазочастотная характеристика каждого из каналов определяется следующими соотношениями (рис. 5):

$$\varphi_1(\omega) = -2 \cdot \arctg\left(\frac{b}{x - \frac{1}{x}}\right), \quad \varphi_2(\omega) = -2 \cdot \arctg\left(\frac{b_2}{x - \frac{1}{x}}\right).$$

Постоянные a и a_2 (и, соответственно, b и b_2) для каждого канала определяются исходя из условий получения требуемых фазовых сдвигов φ_1 и φ_2 гармонических выходных сигналов первого и второго каналов, относительно входного гармонического колебания.

Для подобной структуры фазовращателя можно предположить реализацию $(\varphi_1 - \varphi_2)$ в диапазоне частот в виде, представленном на рис. 6.

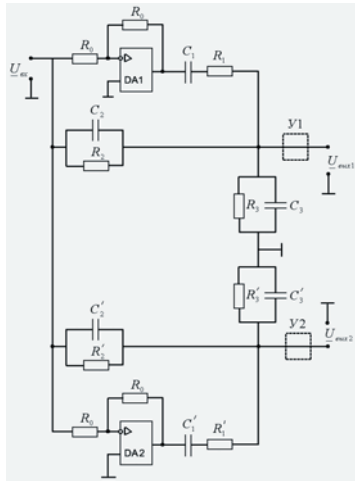


Рис. 4. Структура широкополосного фазовращателя

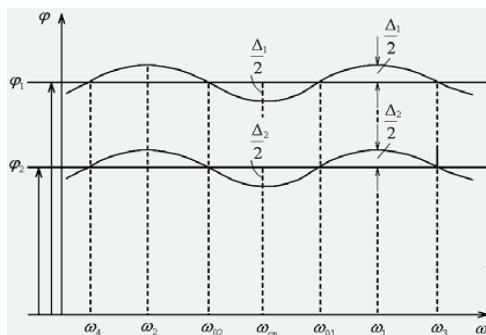


Рис. 5. Фазочастотная характеристика первого и второго каналов

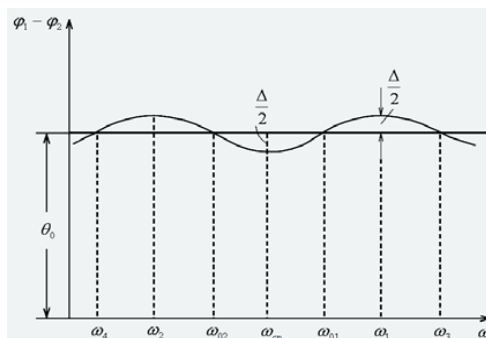


Рис. 6. Зависимость сдвига фазы от частоты

Из общих соображений (см. рис.6) следует, что для $\omega = \omega_{cp}$

$$\varphi_1 - \varphi_2 = \theta_0 - \frac{\Delta}{2},$$

где θ_0 – требуемый фазовый сдвиг,

а $\frac{\Delta}{2}$ – максимальное допустимое отклонение фазового сдвига от требуемого значения.

Тогда на основании (12) для отдельных четырехполюсников получаем:

$$\varphi_1 = -\left[\pi - \left(\frac{\theta_0}{2} - \frac{\Delta}{4} \right) \right], \quad \varphi_2 = -\left[\pi + \left(\frac{\theta_0}{2} - \frac{\Delta}{4} \right) \right]$$

$$\text{и } \varphi_1 - \varphi_2 = \theta_0 - \frac{\Delta}{2}.$$

Для определения параметров и номиналов элементов фазосдвигающих устройств нужно найти необходимые параметрические частоты, которые на графике (рис. 6) обозначены через ω_{01} и ω_{02} .

На основании формулы (11) после введения замены $x = e^{\ln x}$ и $x - \frac{1}{x} = 2 \cdot \text{sh}(\ln x)$ для $\omega = \omega_{cp}$ получим уравнения для фазовых сдвигов четырехполюсников. Решая их относительно ω_{01} и ω_{02} , получаем, что $\omega_{01} > \omega_{cp} > \omega_{02}$ и $\omega_{01} \cdot \omega_{02} = \omega_{cp}^2$.

Количественное определение частот ω_{01} и ω_{02} связано с параметром b и величиной $\frac{\Delta}{2}$, определяющей точность обеспечения требуемой фазовой характеристики. Однако величина b должна быть выбрана, исходя из условия наименьшего отклонения разности фаз $\varphi_1 - \varphi_2$ от θ_0 в заданном диапазоне частот.

Для определения максимального отклонения фазы необходимо прежде всего определить значения частот ω_1 и ω_2 (рис. 6), соответствующие максимальному отклонению разности фаз от заданного θ_0 . Получаем:

$$\left. \begin{aligned} \omega_1 &= \omega_{cp} \sqrt{-\frac{\beta}{2} + \sqrt{\frac{\beta^2}{4} - 1}} \\ \omega_2 &= \omega_{cp} \sqrt{-\frac{\beta}{2} - \sqrt{\frac{\beta^2}{4} - 1}} \end{aligned} \right\}, \quad (13)$$

где

$$\beta = 6 - b^2 \left[1 - \text{tg}^2 \left(\frac{\theta_0}{4} - \frac{\Delta}{8} \right) \right].$$

Видно, что ω_1 и ω_2 также симметричны в геометрическом отношении, т.е.

$$\omega_1 \cdot \omega_2 = \omega_{cp}^2 \quad (\text{см. рис. 6}).$$

В практических условиях для широкого диапазона частот нас интересует получение фазовой характеристики в виде двугорбой кривой типа рис.6. В этом случае выполнение неравенств $\beta < 0$ и $\beta^2 > 4$, при которых, как следует из (13), ω_1 и ω_2 являются действительными числами, обязательно. Значения экстремальных частот ω_1 и ω_2 позволяют определить максимальное отклонение фазы от заданного θ_0 . Для этой цели удобно составить выражение для половины максимального значения фазового угла, т.е. для $\frac{\theta_0}{2} + \frac{\Delta}{4}$.

После преобразований для (11) получаем:

$$\text{ctg} \left(\frac{\theta_0}{2} + \frac{\Delta}{4} \right) = \frac{2}{b^2} \sqrt{b^2 \left[1 - \text{tg}^2 \left(\frac{\theta_0}{4} - \frac{\Delta}{8} \right) \right] - 4} \cdot \text{ctg} \left(\frac{\theta_0}{4} - \frac{\Delta}{8} \right). \quad (14)$$

В этом выражении отражена зависимость между максимальным отклонением фазы $\frac{\Delta}{2}$ и параметром b при заданном значении θ_0 . На рис. 7 приведены кривые $\frac{\Delta}{2} = f(b)$ для трех значений θ_0 , рассчитанные согласно уравнению (14).

Для построения фазовой характеристики типа рис.6 могут понадобиться значения частот ω_3 и ω_4 , при которых $\varphi_1 - \varphi_2 = \theta_0$.

Указанные частоты могут быть определены из уравнения

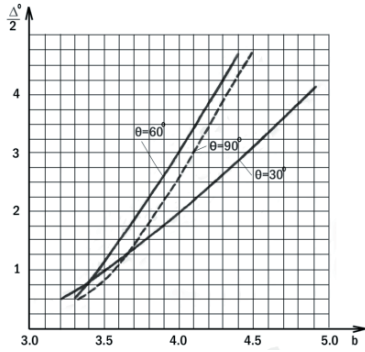


Рис. 7. Графики зависимостей $\frac{\Delta}{2} = f(b)$

$$\operatorname{tg}\left(\frac{\varphi_1 - \varphi_2}{2}\right) = \operatorname{tg} \frac{\theta_0}{2}. \quad (15)$$

Зависимость $\frac{\omega_4}{\omega_{cp}}$ как функция от b приведена на рис. 8.

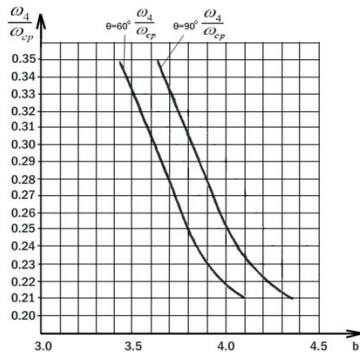


Рис. 8. Графики зависимостей $\frac{\omega_4}{\omega_{cp}}$ как функций от b

Таким образом, мы получили еще четыре опорные точки для построения фазовой характеристики: ω_3 и ω_4 . Ранее мы установили три опорных значения частоты: ω_{cp} , ω_1 и ω_2 .

Дальше необходимо определить значения крайних частот фазовой характеристики ω_5 и ω_6 , для которых $\varphi_1 - \varphi_2 = \theta_0 - \frac{\Delta}{2}$. Этим самым удастся решить вопрос о диапазонных свойствах фазосдвигающей системы при заданной точности $\pm \frac{\Delta}{2}$. Уравнение, позволяющее установить значения крайних частот диапазона ω_5 и ω_6 , можно записать в виде

$$\operatorname{tg}\left(\frac{\varphi_1 - \varphi_2}{2}\right)_{\omega=\omega_{5,6}} = \operatorname{tg}\left(\frac{\theta_0}{2} - \frac{\Delta}{4}\right). \quad (16)$$

Приближенное решение уравнения (16) с учетом того, что $\omega_5 = \frac{\omega_{cp}^2}{\omega_6}$, дает зависимость

$$\frac{\omega_5}{\omega_6} = \frac{\omega_{макс}}{\omega_{мин}} \approx \frac{1}{\left[\frac{1}{2} \frac{\operatorname{ctg}\left(\frac{\theta_0}{2} - \frac{\Delta}{4}\right) b^2}{\operatorname{ctg}\left(\frac{\theta_0}{4} - \frac{\Delta}{8}\right) a_0} - \sqrt{\frac{1}{4} \frac{\operatorname{ctg}^2\left(\frac{\theta_0}{2} - \frac{\Delta}{4}\right) b^4}{\operatorname{ctg}^2\left(\frac{\theta_0}{4} - \frac{\Delta}{8}\right) a_0^2} - \frac{1}{a_0}} \right]^2}, \quad (17)$$

$$\text{где } a_0 = b^2 \left[1 - \operatorname{tg}^2\left(\frac{\theta_0}{4} - \frac{\Delta}{8}\right) \right].$$

Формула (17) дает ответ на вопрос о полосе частот фазовращателя при заданных θ_0 , $\frac{\Delta}{2}$ и b . На рис. 8 приведены графики зависимостей $\frac{\omega_4}{\omega_{cp}}$ как функций от b .

Соображения по выбору параметра a_2 (соответственно, и b_2) второго базового фазового четырехполюсника аналогичны выбору параметра a первого базового четырехполюсника.

6. Выводы

Проведенный анализ предложенной структуры широкополосного фазовращателя дает возможность по заданной (требуемой) совокупности исходных данных дать ответ на вопрос о том, в каком частотном диапазоне может быть реализована требуемая точность поддержания фазового сдвига (и наоборот). Полученные графики могут быть использованы как номограммы для автоматизации проектирования подобных фазовращателей. В частности, в телекоммуникациях часто необходимо иметь сформированные квадратурные сигналы. В этом случае проектирование фазового модуля может быть осуществлено по принципу (условию): $\varphi_1 - \varphi_2 = \frac{\pi}{2}$.

Так как фазовые каналы выбраны одинаковыми по структуре, можно ожидать повышения точности устройства в более широком диапазоне частот из-за того, что φ_1 и φ_2 могут претерпевать однохарактерные и равновеликие в диапазоне частот (разность фаз – относительный параметр). Так как разные базовые фазовые четырехполюсники на своих выходах реализуют различные фазовые сдвиги φ_1 и φ_2 относительно входного гармонического колебания, то АЧХ этих базовых четырехполюсников, определяющиеся в соответствии с (12), будет иметь различный уровень, т.к. $\varphi_1 \neq \varphi_2$, $a \neq a_2$. Поэтому для выравнивания сигналов на выходах базовых четырехполюсников необходимо поставить регулируемые неинвертирующие масштабирующие усилители (на рис. 4 они представлены элементами У1 и У2, которые обозначены пунктирными линиями).

Литература

1. Системные аспекты параметрического синтеза технологических моделей частотно-избирательных устройств. Костромицкий А.И., Чуев И.А., Бондарь Д.В., Зеленин А.Н. // Радиотехника. Всеукр. межвед. науч.-техн. сб. 2004. Вып.137. с.177–184.
2. Зеленин А.Н. Схемотехника радиоэлектронных устройств на ИС. – Х.: Телетех, 2003, – 291с.
3. Б.Б. Штейн, Н.А. Черняк. Однополосная модуляция с помощью фазовых схем. – М.: Связьиздат, 1959. – 164с.
4. А. Анго. Математика для электро- и радиоинженеров. М.: «Наука», 1965. – 779с.